

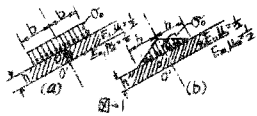
IV-88 海岸堤防におけるアスファルト系法覆工の計算について

鹿島道路株式会社技術研究所 所長 正員 遠藤 靖

1 はじめに

1-1 目標

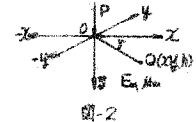
図-1 は基盤（弾性率 E_m 、ポアソン比 $\mu_m = \frac{1}{2}$ ）の上にアスファルト系法覆工（弾性率 E_f 、ポアソン比 $\mu_f = \frac{1}{2}$ ）がのりつき、法覆工表面の中点上に強度 O_0 の波圧が作用している場合を示す。このとき法覆工の底面で波圧の中心 O' に生ずる引張応力 O'_0 を求める。



1-2 基本式

等質半無限弾性体の表面 (x, y) 上の点 O に単一荷重 P が働く場合、表面より h の深さにある任意点 (x, y, h) における重直変位 S および重直応力 O_0 は、Boussinesqによれば(1)式および(2)式で表わされる（図-2）。ただしレポアソン比 $\mu_m = \frac{1}{2}$ とする。

$$S = \frac{3P}{4\pi E_m} \left(\frac{1}{r^3} + \frac{h^2}{r^5} \right) \quad \dots \dots \dots (1) \quad O_0 = \frac{3P}{2\pi} \frac{h^3}{r^6} \quad \dots \dots \dots (2)$$



1-3 座標系

座標系と便宜上図-3の如くとすれば、諸量関係は(3)式で表わされる。

$$\begin{aligned} r &= \frac{R}{\cos \varphi}, \quad R = \frac{h}{\cos \varphi} \quad \therefore \quad r = \frac{h}{\cos \varphi \cos \varphi} \\ y &= R \tan \varphi \quad \therefore \quad dy = \frac{R}{\cos^2 \varphi} d\varphi = \frac{h}{\cos^2 \varphi \cos \varphi} d\varphi \end{aligned} \quad \dots \dots \dots (3)$$

2 等布荷重

$$dP = O_0 dx dy, \quad O_0 = \text{一定} \quad (\text{図-1 (a)})$$

2-1 液下

(1)式の P の代りに上記の dP を入れ更に(3)式を入れて條件の範囲に積分すれば C 点における液下 S_c を得る（図-3）。

$$S_c = \frac{3O_0}{4\pi E_m} \int_b^h dx \int_{-\infty}^{\infty} \left(\frac{1}{r^3} + \frac{h^2}{r^5} \right) dy = \frac{3O_0}{2\pi E_m} [x + h \{ \tan^{-1} \frac{h-e}{h} + \tan^{-1} \frac{h+e}{h} \}] \quad \dots \dots \dots (4)$$

$e \sim k, \alpha$: 定数

(4)式は液下曲線でこれを図示すれば図-3(b)の下方の液下曲線となる。

2-2 曲率

$$\frac{d^2 S_c}{dx^2} = -\frac{3O_0}{\pi E_m h} [(b-e)^2] \left[\left(\frac{h}{b} \right)^2 + (b+e) \left(1 + \left(\frac{h}{b} \right)^2 \right)^{-2} \right] \quad \dots \dots \dots (5)$$

(5)式中 $e=0$ としたものはC点の曲率 $\frac{1}{R_0}$ と等しい。ただし便宜上今後符号を変える。

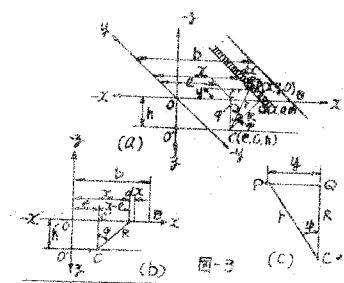
$$\frac{1}{R_0} = -\frac{6O_0}{\pi E_m h} \left(\frac{h^3}{b} \right) \left\{ \left(\frac{h}{b} \right)^2 + 1 \right\}^{-2} \quad \dots \dots \dots (6) \quad \text{図-3(b)の下方の液下曲線中に示した } R_0 \text{ がこの曲率半径である。}$$

2-3 重直応力

図-3にありて点Cが点O'に一致した場合を考え、(2)式の P の代りに dP と書き更に(3)式を入れて條件の範囲に積分すれば、O'点における重直応力 O'_0 を得る。

$$O'_0 = \frac{3O_0}{2\pi} \int_b^h dx \int_{-\infty}^{\infty} \left(\frac{h}{r^3} \right) dy = \frac{2O_0}{\pi} \left[\left(\frac{h}{b} \right)^2 + 1 \right] + O(h^{-1}) \quad \dots \dots \dots (7)$$

2-4 2層系に対する曲率および曲げ応力



等価厚 $h_e = h \left(\frac{E_1}{E_m} \right)^{\frac{1}{3}}$ (8) であるから、2層系のO'点における曲率 $\frac{1}{R_o}$ は(6)式の h の代りに(8)

式の h_e の値を書いて

$$\frac{1}{R_o} = \frac{6\sigma_o}{\pi E_m h} \left(\frac{h}{b} \right)^3 \left(\frac{E_1}{E_m} \right)^{\frac{2}{3}} \left[1 + \left(\frac{h}{b} \right)^2 \left(\frac{E_1}{E_m} \right)^{\frac{2}{3}} \right]^{-2} \quad (9)$$

次に曲率と曲げモーメントと曲げ応力の関係より2層系のO'点における曲げ応力 σ_b を得る。

$$\sigma_b = \frac{E_1 h}{R_o^2} = \frac{3\sigma_o}{\pi} \left(\frac{h}{b} \right)^2 \left(\frac{E_1}{E_m} \right)^{\frac{2}{3}} \left[1 + \left(\frac{h}{b} \right)^2 \left(\frac{E_1}{E_m} \right)^{\frac{2}{3}} \right]^{-2} \quad (10)$$

2-5 2層系に対する重直応力およびこう東応力

(7)式の h の代りに(8)式の h_e の値を書いて

$$\sigma_r = \frac{2\sigma_o}{\pi} \left[\left(\frac{h}{b} \right)^2 \left(\frac{E_1}{E_m} \right)^{\frac{1}{3}} \left[1 + \left(\frac{h}{b} \right)^2 \left(\frac{E_1}{E_m} \right)^{\frac{2}{3}} \right]^{-1} + \cot^{-1} \left(\frac{h}{b} \right) \left(\frac{E_1}{E_m} \right)^{\frac{1}{3}} \right] \quad (11)$$

こう東応力 $\sigma_r = -\mu \sigma_o = -\frac{1}{2} \sigma_o$ (12) として

$$\sigma_r = -\frac{\sigma_o}{\pi} \left(\frac{h}{b} \right)^2 \left(\frac{E_1}{E_m} \right)^{\frac{1}{3}} \left[1 + \left(\frac{h}{b} \right)^2 \left(\frac{E_1}{E_m} \right)^{\frac{2}{3}} \right]^{-1} + \cot^{-1} \left(\frac{h}{b} \right) \left(\frac{E_1}{E_m} \right)^{\frac{1}{3}} \quad (13)$$

2-6 2層系における最大引張応力

最大引張応力 $\sigma' = \sigma_b + \sigma_r$ であるから、(10)式と(13)式を加え合わせて

$$\sigma' = \sigma_o F_1 \\ F_1 = \frac{3}{\pi} \left(\frac{h}{b} \right)^2 \left(\frac{E_1}{E_m} \right)^{\frac{2}{3}} \left[1 + \left(\frac{h}{b} \right)^2 \left(\frac{E_1}{E_m} \right)^{\frac{2}{3}} \right]^{-2} - \frac{1}{\pi} \left(\frac{h}{b} \right)^2 \left(\frac{E_1}{E_m} \right)^{\frac{1}{3}} \left[1 + \left(\frac{h}{b} \right)^2 \left(\frac{E_1}{E_m} \right)^{\frac{2}{3}} \right]^{-1} + \cot^{-1} \left(\frac{h}{b} \right) \left(\frac{E_1}{E_m} \right)^{\frac{1}{3}} \quad (A)$$

(A)式を図表化したものが図-Aである。

3 三角形荷重

右側: $4P = \sigma_o \left(-\frac{X}{b} \right)$, 左側: $4P = \left(+\frac{X}{b} \right)$ であるから、基本式(1)式および(2)式の結果、他は等布荷重の場合と同様にして2層系におけるO'点の最大引張応力 σ' を得る。

$$\sigma = \sigma_o F_2 \\ F_2 = \frac{3}{2\pi} \left(\frac{h}{b} \right)^2 \left(\frac{E_1}{E_m} \right)^{\frac{2}{3}} \left[1 + \left(\frac{h}{b} \right)^2 \left(\frac{E_1}{E_m} \right)^{\frac{2}{3}} \right]^{-1} - \frac{1}{\pi} \left(\frac{h}{b} \right)^2 \left(\frac{E_1}{E_m} \right)^{\frac{1}{3}} \left[1 + \left(\frac{h}{b} \right)^2 \left(\frac{E_1}{E_m} \right)^{\frac{2}{3}} \right]^{-1} + \cot^{-1} \left(\frac{h}{b} \right) \left(\frac{E_1}{E_m} \right)^{\frac{1}{3}} \quad (B)$$

(B)式を図表化したものが図-Bである。

4 おわりに

4-1 非対称荷重

4-1-1 半荷重ルール

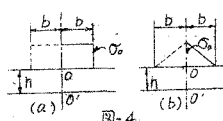


図-4の如き場合は次の半荷重ルールが成立する。

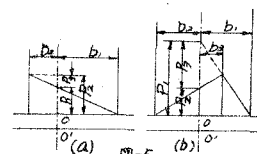
$$\text{等布荷重 (a): } \sigma = \frac{1}{2} \sigma_o F_1, \quad \text{三角形荷重 (b): } \sigma = \frac{1}{2} \sigma_o F_2 \quad (C)$$

ここで F_1 : (A)式または図-Aの F_1 , F_2 : (B)式または図-Bの F_2

4-1-2 非対称荷重の例 (図-5)

$$(a): \sigma = \frac{1}{2} [P_1 F_2(b=b_1) + P_2 F_2(b=b_2) - P_3 F_2(b=b_3)]$$

$$(b): \sigma = \frac{1}{2} [P_1 F_2(b=b_1) + P_2 F_2(b=b_2) - P_3 F_2(b=b_3)]$$



4-2 この方法の不備と特徴

不備の点は多々あるが最大のものは法覆工ののりこり配の影響が現われないことであることは明らかに不合理である。これは図-3の座標系をとり Boussinesq 式を適用したことによるものであるが、今後理論を再検討するか実験的に補正するかの方途を講じたい。

特徴とするところは、上記非対称荷重の例で示すように、荷重分布が直線的である限り如何なる形のものにも容易に適用し得る点であろう。

おわり